

탄성-소성파괴 매개변수와 크리이프파괴 매개변수에 관하여 *

李 康 鏽

연세대학교 기계공학과 교수

1. 머리 말

최근 저자는 혼합모우드에 대한 Budiansky 와 Rice 의 J_k 적분에 모순이 있음을 지적한 바 있다⁽¹⁾. 그러나 Kishimoto 등⁽²⁾은 파괴진행영역을 고려한 경로 독립적분 \tilde{J} 을 제시하여 주목을 끌고 있다. Landes 등⁽³⁾은 Rice 의 J 적분을 정상상태크리이프에 까지 연장 적용하기 위한 C^* 적분을 소개하였다. 그후 크리이프파괴에 대한 매개변수로서 Liu 등에 의한 C_{sk}^* ⁽⁴⁾, Brust 등에 의한 T_k^* 등⁽⁵⁾이 소개되어 계속 연구중이다. 여기에서는 이러한 매개변수들에 대해 개괄적으로 서술하고자 한다.

2. 탄성-소성파괴 매개변수

2.1 J_k 적분의 모순

Rice 의 J 적분은 다음의 J_k 적분의 첫번째 성분이다.

$$J_k = \int_{\Gamma} (W n_k - t_i u_{i,k}) d\Gamma \quad (1)$$

여기에서 Γ 은 그림 1에서 보는 바와 같이 X_1 , X_2 평면에서 균열선단을 에워싼 곡선, W 는 변형률 어너지 밀도, t_i 는 Γ 상에서 외부로 작용하는 응력벡터, n 는 Γ 에 수직한 외부로 향하는 단위벡터, u_i 는 변위벡터, $d\Gamma$ 는 Γ 상의 작은 요소이다. 식(1)에 혼합형(mixed mode I, II) 균열선단 가까이의 응력장 방성식을 대입하여 정리하면, 평면변형을 상태에서 다음식이 얻

어진다.

$$\begin{aligned} J_1 &= [(1-\nu^2)/E] (K_1^2 + K_{II}^2) \\ J_2 &= -[2(1-\nu^2)/E] K_1 K_{II} \end{aligned} \quad (2)$$

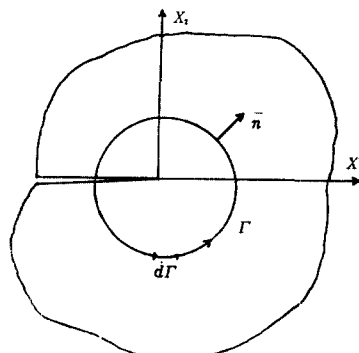


그림 1 Rice J 적분의 경로

여기에서 K_1 과 K_{II} 는 모우드 I과 모우드 II의 응력세기계수이고 ν 와 E 는 프와송비와 탄성계수이다. 균열발생 방향으로 합백터의 크기는 식(2)로부터 다음식으로 얻어진다.

$$J = [(1-\nu^2)/E] \{K_1^4 + 6K_1^2 K_{II}^2 + K_{II}^4\}^{1/2} \quad (3)$$

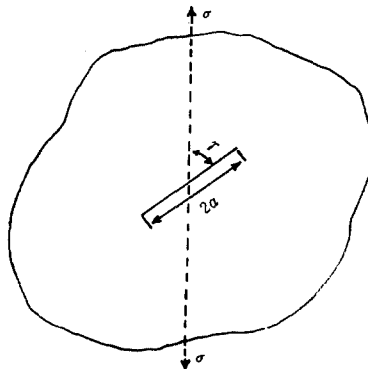


그림 2 혼합형 균열

* 이 글은 '87년도 본 학회 재료 및 파괴부문 학술 강연회(3.21)에서 강연한 내용임.

그림 2에서 보는 바와 같이 균열길이 $2a$ 를 가지는 두-한정판에 균열평면에 γ 각도를 가지고 응력 σ 가 작용하는 경우에 응력세기 계수는 다음과 같다.

$$K_I = \sigma \sqrt{\pi a} \sin^2 \gamma \quad (4)$$

$$K_{II} = \sigma \sqrt{\pi a} \sin \gamma \cos \gamma$$

식(4)를 식(3)에 대입하면 그림 3에서 보는 바와 같이 $\gamma=90^\circ$ 에서가 아니고 $\gamma=70.665^\circ$ 에서 J 는 최대가 된다. 이러한 결과는 기대되는 바와 다르며 아마도 식(1)에 모순이 있는 것 같다.

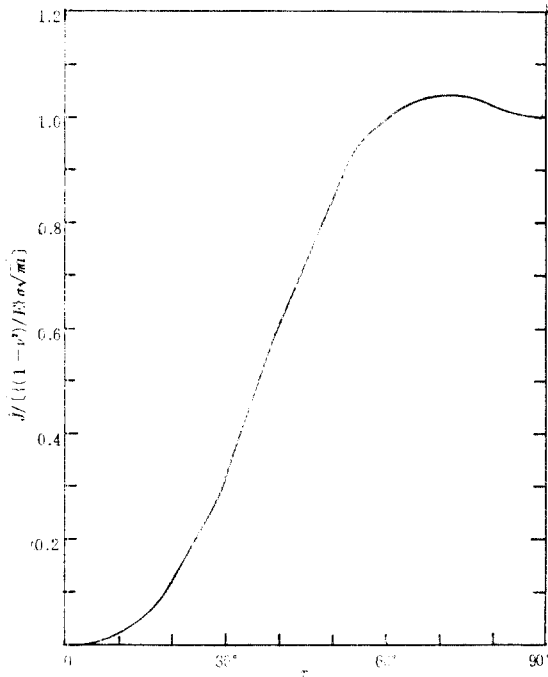


그림 3 $J / [((1 - \nu^2)/E) \sigma \sqrt{\pi a}]$ 대 γ 의 비

2.2 \hat{J} 적분

그림 4와 같은 폐곡선 Γ_{end} 내부를 파괴진행 영역 A_{end} 로 하여 영역 A 와 A_{end} 내의 에너지 변화의 균형을 생각하므로 다음식이 얻어진다.

$$\hat{J} = - \int_{\Gamma_{end}} t_i \frac{\partial u_i}{\partial x_1} d\Gamma \quad (5)$$

여기에서 x_1 은 균열 발생 방향 θ 에 설정한 축이다.

식 \hat{J} 벡터를 균열 평면 방향 X_1 과 그 수직방향 X_2 로 구분하면 다음식이 얻어진다.

$$\hat{J}_k = - \int_{\Gamma_{end}} t_i \frac{\partial u_i}{\partial X_k} d\Gamma \quad (6)$$

식 (6)으로부터 경로독립 적분 \hat{J}_k 는 다음식으로 얻어진다.

$$\begin{aligned} \hat{J}_k &= \int_A (\rho \ddot{u}_i - F_i) \frac{\partial u_i}{\partial X_k} dA + \int_A \sigma_{ij} \frac{\partial \epsilon_{ij}}{\partial X_k} dA \\ &\quad - \int_{\Gamma_{+} R_s} t_i \frac{\partial u_i}{\partial X_k} d\Gamma \end{aligned} \quad (7)$$

여기에서 면적 A 는 폐곡선내의 면적이고 $\rho \ddot{u}_i$ 는 가속력에 해당하는 항이고 F_i 는 체적력에 해당하는 항이다.

식 (7)에서 ϵ_{ij} 를 다음과 같이 표기한다.

$$\epsilon_{ij} = \epsilon_{ij}^e + \epsilon_{ij}^*$$

여기에서 ϵ_{ij}^e 는 탄성 성분이고 ϵ_{ij}^* 는 그외의 성분이다.

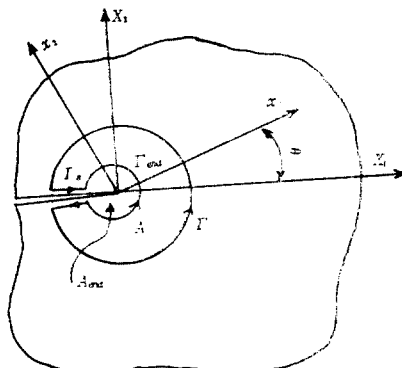


그림 4 \hat{J} 적분경로와 좌표축 설정

식(8)을 식(7)에 대입하고 $\frac{\partial W_e}{\partial \epsilon_{ij}^e} = \sigma_{ij}$ 와 Gauss 정리를 적용하면 다음 식으로 표기된다.

$$\begin{aligned} \hat{J}_k &= \int_{\Gamma_{+} R_s} \left(W_e n_k - t_i \frac{\partial u_i}{\partial X_k} \right) d\Gamma - \int_{\Gamma_{end}} W_e n_k d\Gamma \\ &\quad + \int_A \left[\sigma_{ij} \frac{\partial \epsilon_{ij}^*}{\partial X_k} + (\rho \ddot{u}_i - F_i) \frac{\partial u_i}{\partial X_k} \right] dA \end{aligned} \quad (9)$$

여기에서 W_e 는 W 의 탄성성분이다.

(1) 파괴 진행영역이 없는 경우($\Gamma_{end}=0$)

식(6)과 식(9)로부터 \hat{J}_k 는 영이 됨을 증명할 수 있다. 이러한 결과는 앞에서 언급한 J_k 적분과 상이한 점을 보인다.

(2) 파괴 진행 영역이 비어있고, 체적력이 없

고, 관성력이 없고, 균열표면에 트랙션이 없고, 단지 탄성변형만 존재하는 경우.

이 경우에 식(9)는 Budiansky 와 Rice 의 J_k 적분과 동일하게 됨을 알 수 있다. 그런데 균열선 단에서 파괴 진행영역은 피할 수 없이 존재하고, 또 2.1 절에서 밝힌 바와 같이 J_k 는 모순이 있으므로 \hat{J}_k 적분이 더 타당성이 있는 것으로 여겨진다. 그러나 \hat{J}_k 를 사용하는데 문제는, Γ_{end} 상의 응력장이 알려져 있지 않는데 있다.

3. 크리아프파괴 매개변수

3.1 C^* 적분

C^* 적분은 J 적분을 시간 의존형으로 바꿔 표기한 것으로 다음과 같다.

$$C^* = \int_R \left(W^* dX_2 - t_i \frac{\partial u_i}{\partial X_1} d\Gamma \right) \quad (10)$$

여기에서

$$W^* = \int_0^{\epsilon} \sigma_{ij} d\dot{\epsilon}_{ij} \quad (11)$$

C^* 는 비선형 정상상태 크리아프법칙 ($\dot{\epsilon} = C\sigma^n$)을 따르는 크리아프파괴 매개변수이고, σ_{ij} 와 ϵ_{ij} 는 HRR 방정식과 같은 형태로서 다음과 같다.

$$\begin{aligned} \sigma_{ij} &\propto \left(\frac{C^*}{r} \right)^{\frac{1}{n+1}} \\ \epsilon_{ij} &\propto \left(\frac{C^*}{r} \right)^{\frac{n}{n+1}} \end{aligned} \quad (12)$$

여기에서 r 은 균열선단에서부터 거리이다.

또한 J 와 유사하게

$$C^* = -\frac{1}{B} \frac{\partial U^*}{\partial a} \quad (13)$$

여기서

$$U^* = \int_0^{\dot{v}} P d\dot{v} \quad (14)$$

P 와 \dot{v} 는 하중과 변위율(displacement rate)이다.

C^* 매개 변수의 측정법으로는 Landes 등⁽³⁾의 여러개 시편에 의한 방법이 있는데, 이는 여러 개 시편에 의한 J_{lc} 측정법과 유사하다.

여러개 시편을 사용하여야 하는 번거로움을 피하기 위해 단일시편에 의한 C^* 측정법이 Har-

per⁽⁶⁾ 등에 의해 일정하중과 일정 변위율에 대해 다음식으로 제안되었다.

$$C^* = -\frac{n}{n+1} \frac{P\dot{v}}{Bw} \left[\frac{1}{m} \frac{dm}{d(\frac{a}{w})} \right] \quad (15)$$

여기에서 m 은 항복하중비로 불리는 것으로 극한해석에 의해 a/w 의 합수로 주어진다. m 과 a/w 의 관계식은 일반적인 시편에 대해 Ewing 등⁽⁷⁾이 구한바 있다. 또 다른 단일시편에 의한 C^* 측정은 저자의 J 결정법⁽⁸⁾을 시간의존형으로 변경하므로 다음식에 의해 얻을 수 있다.

$$C^* = \frac{\eta}{B(w-a)} \frac{n}{n+1} P\dot{v} \quad (16)$$

여기에서

$$\eta = 2(3 \text{ 점 굽힘 시편})$$

$$\eta = \frac{n-1}{n} (\text{중앙 균열 인장시편}) \quad (17)$$

$$\eta = \varphi_r + \frac{\varphi_c}{n} (\text{콤팩트 인장시편})$$

여기에서

$$\varphi_r = \frac{2(1+\alpha)}{1+\alpha^2}$$

$$\varphi_c = \frac{2\alpha(1-2\alpha-\alpha^2)}{(1+\alpha^2)^2} \quad (18)$$

$$\alpha = 2 \left[\left(\frac{a}{b} \right)^2 + \frac{a}{b} + \frac{1}{2} \right]^{1/2} - 2 \left[\frac{a}{b} + \frac{1}{2} \right]$$

w 는 시편폭이고 b 는 리거먼트(ligament)길이이다.

위에 상응하는 η 값은 Smith⁽⁹⁾의 결과와 약간 다르다.

3.2 C_{ek}^* 적분

C_{ek}^* 적분은 \hat{J}_k 적분을 시간 의존형으로 변형하고 크리아프-탄성유사론(creep-elastic analogue theory)에 의해 $\ddot{u}_i=0$ 인 경우 식(9)로부터 다음식으로 표기된다.

$$\begin{aligned} C_{ek}^* &= \int_{\Gamma_{+}\Gamma_{-}-\Gamma_{\text{end}}} \hat{W}_k n_k d\Gamma - \int_{\Gamma_{+}\Gamma_{-}} t_i \frac{\partial \dot{u}_i}{\partial X_k} d\Gamma + \int_A \\ &\quad \left[\sigma_{ij} \frac{\partial \dot{\epsilon}_{ij}}{\partial X_k} - F_i \frac{\partial u_i}{\partial X_k} \right] dA \end{aligned} \quad (19)$$

여기에서

$$\dot{W}_k = \sigma_{ij} \dot{\epsilon}_{ij}^c$$

$$\dot{\epsilon}_{ij} = \dot{\epsilon}_{ij}^e + \dot{\epsilon}_{ij}^p \quad (20)$$

\dot{W}_c 는 stress working density이다.

[그러나 해당 참고문헌(4)에서 식(19)를 표기할 때 좌표축 표기에 잘못이 있다.] 소규모 크리아프인 경우에는 탄성, 소성, 크리아프영역이 공존하므로 식(19)에 의해 C_{ek}^* 은 계산되지만, 광범위 크리아프에서는 $\dot{\epsilon}_{ij}=0$ 로, σ_{net} 가 크리아프 매개변수로 적용 가능하리 만큼 대규모 크리아프 극한 상황에서는 $\dot{\epsilon}_{ij}=0$, $\dot{W}_c \approx 0$ 로 계산되어야 하므로 위의 C_{ek}^* 적분은 정상상태와 비정상상태에 두루 적용되는 식이라고 Liu⁽⁴⁾등은 주장하고 있다.

3.3 T_k^* 적분

Atluri의 연구팀에 의해 시작된 크리아프 매개변수가 발전하여 Burst 등⁽⁵⁾은 다음의 매개변수를 제안하였다.

$$\dot{T}_k^* \equiv \lim_{\Delta t \rightarrow 0} \frac{\Delta T_k^*}{\Delta t} = \lim_{\Gamma_{end} \rightarrow 0} \int_{\Gamma_{end}} [\dot{W}_c n_k - (t_i + \Delta t_i) \dot{u}_{i,k} - t_i u_{i,k}] d\Gamma \quad (21)$$

윗식은 비정상상태에 적용되는 식으로서 정상상태에서는 응력의 시간에 대한 변화가 없으므로 다음식으로 변형된다.

$$(\dot{T}_k^*)^{ss} = \lim_{\Gamma_{end} \rightarrow 0} \int_{\Gamma_{end}} [\dot{W}_c n_k - t_i \dot{u}_{i,k}] d\Gamma \quad (22)$$

여기에서 ()^{ss}는 정상상태임을 표시한다.

지금까지 크리아프파괴 매개변수로서 C^* , C_{ek}^* , \dot{T}_k^* 적분들을 소개하였다. 그러나 C^* 은 정상상태 크리아프에만 적용되며, C_{ek}^* , \dot{T}_k^* 은 정상상태와 비정상상태에 두루 적용된다고 해당논문 저자들은 밝히고 있다.

특히 C^* 에 대한 반박으로는 Atluri 연구팀에서 식(11)과 같은 W^* 의 정의는 크리아프에서는 물리적 의미를 찾을 수 없으며 크리아프에서는 에너지 소모율을 의미하는 식(20)의 \dot{W}_c 를 사용하여야 한다고 주장하고 있다. 평면변형율과 평면응력 상태를 구분하여 보우드 I에 대한 $(\dot{T}_1^*)^{ss}$ 와 C^* 의 값을 비교하면 평면변형율 상태에서는 그 차이가 미소하나, 평면응력 상태에서는 10~15%의 차이를 보이는데 이 차는 단지 W^* 과 \dot{W}_c 의 정의의 차이에 기인한다. $(\dot{T}_1^*)^{ss}$ 와 C^* 의

차이를 수식화하면 다음과 같다.

$$(\dot{T}_1^*)^{ss} = C^* + \lim_{\Gamma_{end} \rightarrow 0} \int_{\Gamma_{end}} n_1 (\dot{W}_c - W^*) d\Gamma \quad (23)$$

\dot{T}_k^* 에 대한 문제로서 지적될 수 있는 것은 식(21)의 실제 계산상에 문제가 있음을 해당논문 저자도 밝히고 있으며 어느정도로 작은 Γ_{end} 상에서 계산되어야 하는지 의문으로 남아있다. 뿐만 아니라 식(21)의 Δt_i 의 처리에 있다. Δ 는 시간에 대한 것인데 어느정도 짧은 시간 간격에서 t_i 의 변화를 계산하여야 하는지 의문이다. C_{ek}^* 와 \dot{T}_k^* 의 비교에서 쉽게 알 수 있는 것은 \dot{T}_k^* 에서는 t_i 에 대한 시간 미분항이 있으나 C_{ek}^* 에서는 그러한 항이 없다. C_{ek}^* 가 진정 비정상상태에서도 사용 가능하다면, t_i 는 비정상상태에서는 시간에 따라 변화하므로 t_i 항을 내포하고 있어야 할 것이다. 뿐만 아니라 C_{ek}^* 의 계산에서도 Γ_{end} 즉 파괴진행영역의 크기를 알아야 하며 또 그 선상에서 응력 및 변위장을 알아야 식(19)는 계산 가능하다. 그러나 아직 이에 대해 아는 바 없다. 따라서 이 분야에서 상당한 연구가 진행되어야 할 것으로 된다.

4. 맷음 말

탄성-소성파괴 매개변수와 크리아프파괴 매개변수를 위한 경로독립 적분의 계산을 위해서는 파괴진행 영역의 응력장 방정식을 알 필요가 있는데 이영역은 미소결합 즉 미소공동, 미소균열등이 존재하는 곳으로서 연속체 역학에 의해 다루기 힘든 분야로서 앞으로 활발히 연구되어야 할 것으로 믿는다.

비록 파괴진행 영역상의 응력장 방정식이 있다 하더라도 현재까지 개발된 크리아프파괴 경로독립 적분은 문제점이 있으므로 이에 대한 연구도 병행되어야 하리라 본다.

참 고 문 헌

- (1) Kang Yong Lee, 1986, "Contradiction of J_k Integral", Int. J. Fracture, Vol. 31, pp.

- R53~R54.
- (2) K. Kishimoto, S. Aoki, and M. Sakata, 1980, "On the Path Independent Integral- \hat{J} ", Engng. Fracture Mech., Vol. 13, pp. 841~850.
 - (3) J.D. Landes and J.A. Begley, 1976, "A Fracture Mechanics Approach to Creep Crack Growth", ASTM STP 590, pp. 128~148.
 - (4) Y.J. Liu and T.R. Hsu, 1985, "A General Treatment of Creep Crack Growth", Engng. Fracture Mech., Vol. 21, No. 3, pp. 437~452.
 - (5) F.W. Brust and S.N. Atluri, 1986, "Studies on Creep Crack Growth Using the \dot{T}^* -Integral", Engng. Fracture Mech., Vol. 23, No. 3, pp. 551~574.
 - (6) M.P. Harper and E.G. Ellison, 1977, "The Use of the C^* Parameter in Predicting Creep Crack Propagation Rates", J. Strain Anal., Vol. 12, No. 3, pp. 167~179.
 - (7) D.J.F. Ewing and C.E. Richards, 1974, "The Yield Point Loads of Singly-Notched Pin-Loaded Tensile Strips", J. Mech. Phys. Sol., Vol. 22, No. 1, pp. 27~36.
 - (8) Kang Yong Lee and Ok Hwan Kim, 1986, "The Method of J Integral Analysis and Estimate", Trans. KSME, Vol. 10, No. 3, pp. 427~431.
 - (9) D.J. Smith and G.A. Webster, 1983, "Estimates of the C^* Parameter for Crack Growth in Creeping Materials", ASTM STP 803, pp. I-654~I-674.

제 17회 정밀도 경진대회 개최안내

주최 : 상공부

주관 : 한국기계연구소

대회종목

○경진부문 : 정밀가공, 금형, 도금

○경연부문 : 연삭, 치공구제작, 열처리, 래핑, 측정

대회진행

○경진부문

업체경진품제작 : '87. 5. 4~7. 12

업체평상능력심사 : '87. 5. 18~6. 20

경진품접수 : '87. 7. 13~7. 14

○경연부문

대회실시 : '87. 6. 15~6. 25

시상

○경진부문

최우수상 : 대통령상 및 정밀공업진흥의 탑

우수상 : 국무총리상

우량상 : 상공부장관상

기술상 : 한국기계연구소장상

○경연부문

특등상 : 대통령상 및 부상(300만원)

1등상 : 국무총리상(금메달 및 부상 100만원)

2등상 : 상공부장관상(은메달 및 부상 70만원)

3등상 : 상공부장관상(동메달 및 부상 50만원)

장려상 : 한국기계연구소장상(석메달 및 부상 20만원)

수상업체(자)특혜

○경진부문(업체) : 정밀기술등급(1, 2급)
부여

○경연부문(개인) : 2급기능사 자격부여(자격증없는 기능인)

연락처

[1][5][2] 서울특별시 구로구 구로동 222-13

한국기계연구소 기계진흥실

(863-0611)